



В
НИИ
А

ПРЕДПРИЯТИЕ ГОСКОРПОРАЦИИ "РОСАТОМ"

ФГУП "ВСЕРОССИЙСКИЙ НАУЧНО-ИССЛЕДОВАТЕЛЬСКИЙ ИНСТИТУТ АВТОМАТИКИ им. Н.Л.Духова"

Код ТИС для расчета течений многоматериальных сред

Евтушенко Г.И., Захаров П.П., Козырев А.А., Меньшов И.С.
ФГУП ВНИИА им.Н.Л. Духова

Основные характеристики кода

Модели среды

- Многоматериальные среды в гидродинамическом приближении
- Двухфазные неравновесные среды
- RANS

Типы сеток

- Структурированные декартовы/криволинейные сетки
- Неструктурированные сетки
- ЛАД-сетки (2D)

Численный метод

- Метод конечного объема
- Второй порядок по времени и пространству
- Явная схема
- Неявная схема

Параллелизм

- одноуровневый MPI
- многоуровневый: MPI + “OpenMPI”

Прочее

- ведение документации - doxygen
- тестирование – покрытие исходных кодов unit-тестами
- разработка в системе управления конфигурациями git

Математическая модель

Течение многоматериальной среды

Многоматериальная среда – это сплошная среда, состоящая из N компонент, каждая из которых:

- занимает свою область в пространстве $\Omega_i(t)$, $i = 1, \dots, N$ отделена от других компонент контактной границей $\Sigma_i(t) = \partial\Omega_i(t)$
- имеет свои собственные физико-механические свойства и описывается собственным уравнением состояния (УРС)

Актуальность

- Фундаментальные задачи
 - неустойчивости разных типов (РТ, РМ и т.д.)
- Прикладные задачи
 - работа реальных конструкций (проблема инерциального ТС)

Классификация сеточных методов

- Лагранжевы методы
- Эйлеравы методы
 - Методы с отслеживанием контактных границ
 - **Методы сквозного счета контактных границ**
- Произвольные лагранжево-эйлеровы методы

Математическая модель

Модель многофазной равновесной среды*

Система уравнений движения многофазной среды с равновесием по скорости, давлению и температуры:

$$\frac{\partial \mathbf{q}}{\partial t} + \frac{\partial \mathbf{f}_1}{\partial x} + \frac{\partial \mathbf{f}_2}{\partial y} + \frac{\partial \mathbf{f}_3}{\partial z} = 0$$

Вектора консервативных переменных и соответствующих потоков:

$$\rho = \sum_{i=1}^N \alpha_i \rho_i^o \text{ – плотность смеси}$$

$$\beta_i = \alpha_i \rho_i^o / \rho \text{ – масс.концентрация}$$

$$E = e + \mathbf{v}^2 / 2 \text{ – уд. полная энергия}$$

$$\mathbf{q} = \begin{pmatrix} \rho \\ \rho v_1 \\ \rho v_2 \\ \rho v_3 \\ \rho E \\ \rho \beta_1 \\ \dots \\ \rho \beta_N \end{pmatrix}, \quad \mathbf{f}_1 = \begin{pmatrix} \rho v_1 \\ \rho v_1 v_1 + p \\ \rho v_1 v_2 \\ \rho v_1 v_3 \\ v_1(\rho E + p) \\ \rho v_1 \beta_1 \\ \dots \\ \rho v_1 \beta_N \end{pmatrix}, \quad \mathbf{f}_2 = \begin{pmatrix} \rho v_2 \\ \rho v_2 v_1 \\ \rho v_2 v_2 + p \\ \rho v_2 v_3 \\ v_2(\rho E + p) \\ \rho v_2 \beta_1 \\ \dots \\ \rho v_2 \beta_N \end{pmatrix}, \quad \mathbf{f}_3 = \begin{pmatrix} \rho v_3 \\ \rho v_3 v_1 \\ \rho v_3 v_2 \\ \rho v_3 v_3 + p \\ v_3(\rho E + p) \\ \rho v_3 \beta_1 \\ \dots \\ \rho v_3 \beta_N \end{pmatrix}$$

УРС смеси

$$e = \sum_{i=1}^N \beta_i e_i(p, T), \quad \rho \sum_{i=1}^N \frac{\beta_i}{\rho_i^o(p, T)} = 1$$

Распределение массовых концентраций многоматериальной среды

$$\beta_i(\mathbf{r}) = 1, \quad \beta_j(\mathbf{r}) = 0, \quad \forall j \neq i, \quad \mathbf{r} = (x, y, z) \in \Omega_i(t), \quad i = 1, \dots, N$$

*Nigmatulin R.I. *Dynamics of Multiphase Media*, vol. 1,2, Hemisphere: New York, 1990.

Численный метод

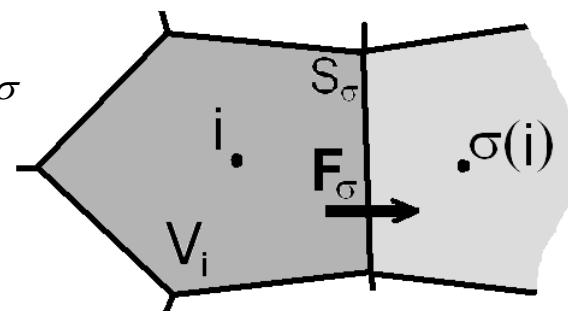
Базовый численный метод конечного объема

Пространственно-
временная дискретизация:

$$\mathbf{q}_i^{n+1} = \mathbf{q}_i^n - \frac{\Delta t}{V_i} \sum_{\sigma} \mathbf{T}_{\sigma}^{-1} \mathbf{F}_{\sigma} S_{\sigma}$$

Вектор численного потока

$$\mathbf{F}_{\sigma} = \mathbf{F}(\mathbf{Q}), \mathbf{Q} = \mathbf{T}\mathbf{q}$$

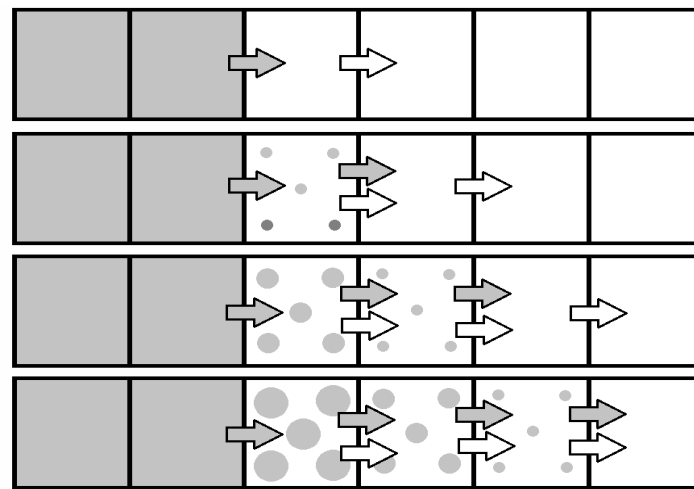


Метод С.К. Годунова*

$$\mathbf{F}_{\sigma} = \mathbf{F}(\mathbf{Q}^{3P}), \mathbf{Q}^{3P} = \mathbf{Q}(\mathbf{Q}_i, \mathbf{Q}_{\sigma(i)})$$

Эффект численного размазывания

- *стандартная аппроксимация* - расширение аппроксимации Годунова, Рusanова и т.д. на многоматериальный случай
- не учитывается наличие контактной границы в смешанных ячейках
- как следствие - численное размазывание контактных границ
- возможные решения - схемы высокого порядка, антидиффузионные операторы, учет подсеточной структуры

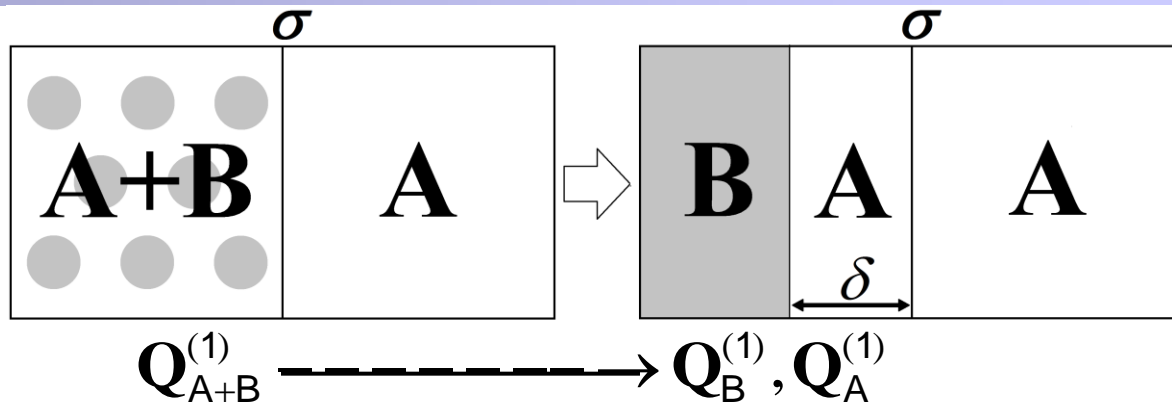


*Godunov SK. A difference scheme for numerical computation of discontinuous solution of hydrodynamic equations. *Math. Sb.* 1959; 47(271) [in Russian]; translation, U.S. Joint Publ. Res. Service, JPRS 7226 (1969).

Численный метод

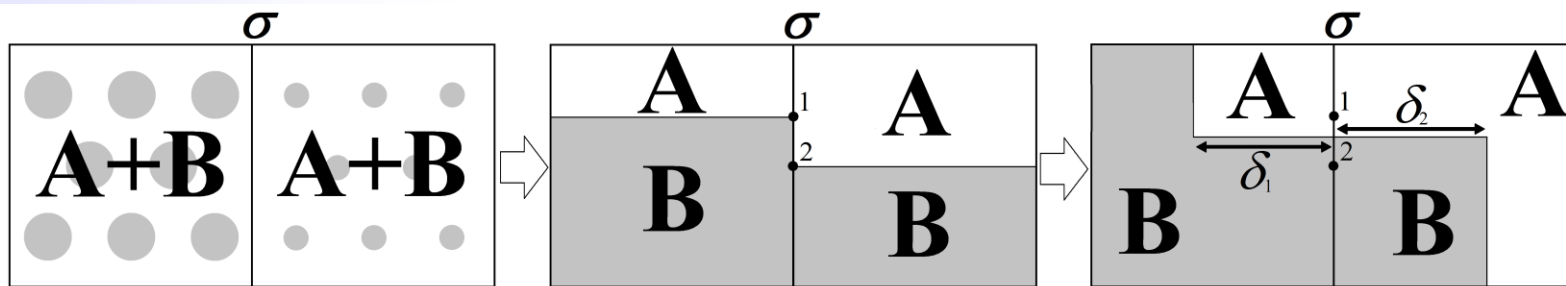
СЗР-аппроксимация

«Чистая-смешанная»



$$F_{\sigma} = F^{C3P}(Q_B^{(1)}, Q_A^{(1)}, Q_A^{(2)}, \delta), \quad \delta = \alpha V / S_{\sigma}$$

«Смешанная-смешанная»



$$F_{\sigma} = \tilde{\alpha} F^{C3P}(Q_B^{(1)}, Q_A^{(1)}, Q_A^{(2)}, \delta_1) - (1 - \tilde{\alpha}) F^{C3P}(Q_A^{(2)}, Q_B^{(2)}, Q_B^{(1)}, \delta_2)$$

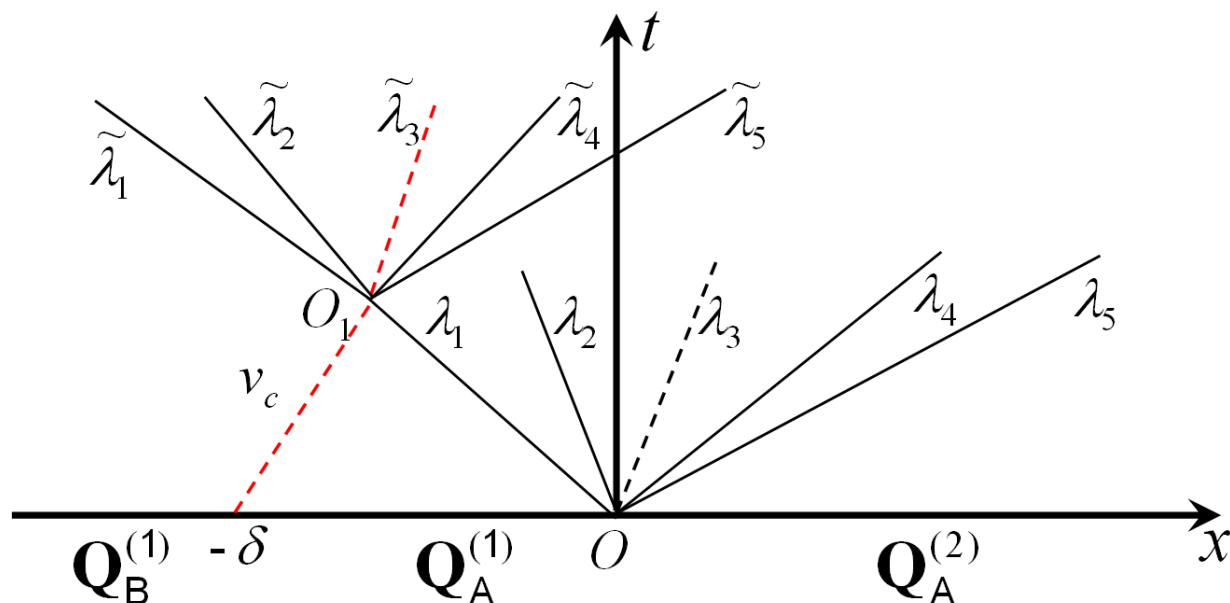
$$\tilde{\alpha} = w \alpha_A^{(1)} + (1 - w) \alpha_A^{(2)}, \quad w \in [0, 1]$$

Составная задача Римана (СЗР)

Формулировка

СЗР является задачей Коши для одномерной системы $\mathbf{Q}_t + \mathbf{F}(\mathbf{Q})_x = 0$ с начальными условиями вида:

$$\begin{cases} \mathbf{Q} = \mathbf{Q}_B^{(1)}, & x < -\delta \\ \mathbf{Q} = \mathbf{Q}_A^{(1)}, & -\delta \leq x < 0 \\ \mathbf{Q} = \mathbf{Q}_A^{(2)}, & x \geq 0 \end{cases}$$



Некоторые замечания

- $x = -\delta$ – контактный разрыв между компонентами А и В
- $x = 0$ – разрыв параметров в компоненте А
- $\mathbf{Q}_A^{(1)}$ и $\mathbf{Q}_B^{(1)}$ описывают состояние компонент А и В в смешанной ячейке
- СЗР не является автомодельной в отличие от классической задачи Римана
- искомый поток определяется интегралом $\int \mathbf{F}(\mathbf{Q}^{\text{СЗР}}(x=0, t)) dt$ на интервале $[0, \Delta t]$, где $\mathbf{Q}^{\text{СЗР}}(x, t)$ – решение СЗР

Составная задача Римана

Решение для случая $\{\lambda_3 > 0, x_{O1} < 0\}$

Интегральная форма законов сохранения

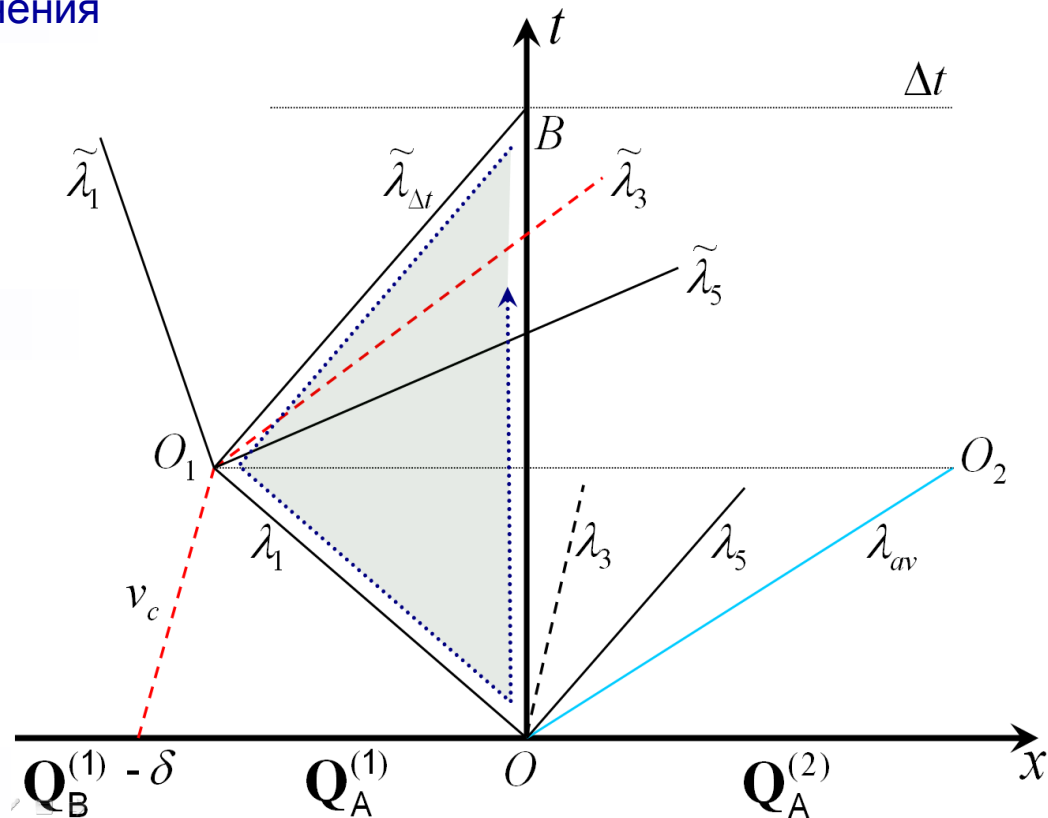
$$\oint (\mathbf{F}(\mathbf{Q})dt - \mathbf{Q}dx) = 0$$

Осреднение

$$\mathbf{Q}_{оср} = \frac{\int_{O_1O} (...) + \int_{O_1O_2} (...)}{(x_{O_2} - x_{O_1})}$$

Аппроксимация численного потока

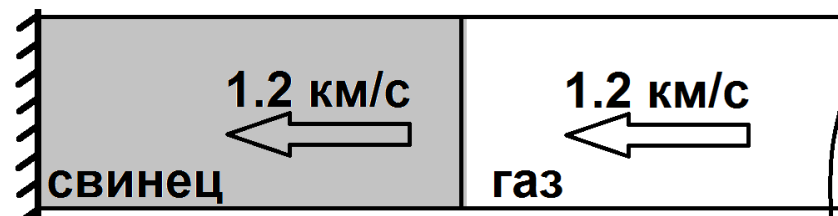
$$\mathbf{F}_\sigma = \frac{1}{\Delta t} \left(- \int_{O_1O} (...)_{3P1} - \int_{BO_1} (...)_{3P2} + \mathbf{F}_{оср} \right), \quad \mathbf{F}_{оср} = (\mathbf{Q}_{оср} - \mathbf{Q}_{оср}^{(R)})x_{O_2}$$



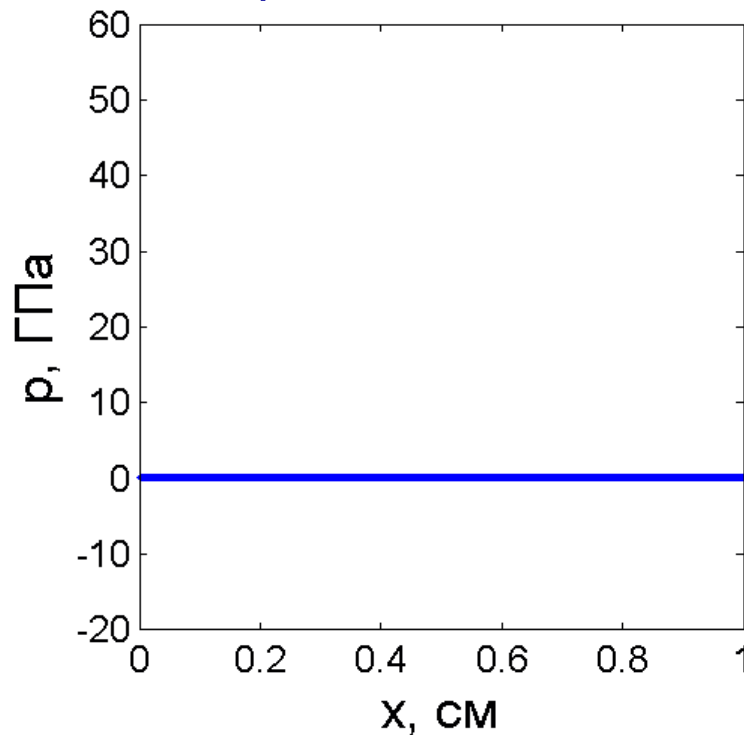
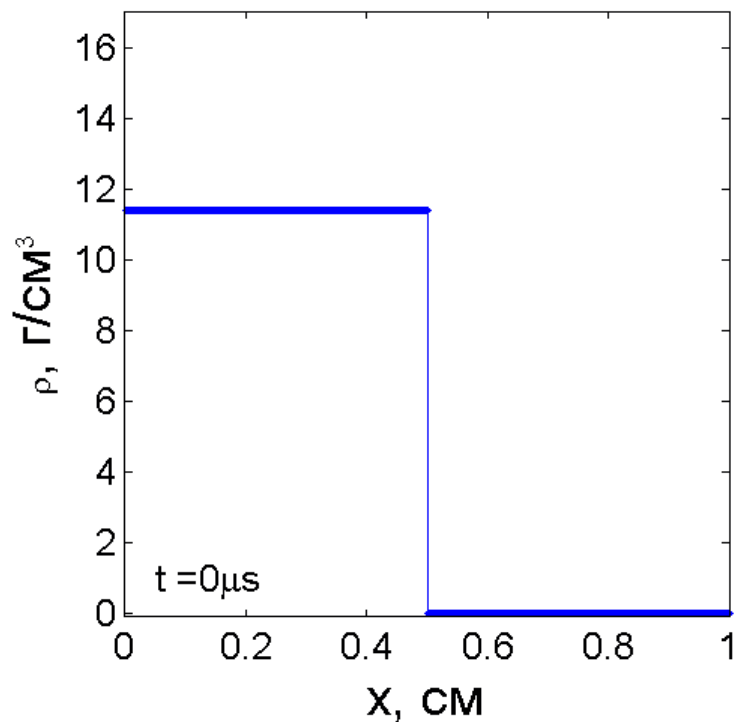
Численные результаты

Задача об ударе слоистой системы

- УРС Ми-Грюнайзена и идеального газа
- $L_x = 0.5$ см; $N_x = 1000$; CFL = 0.5



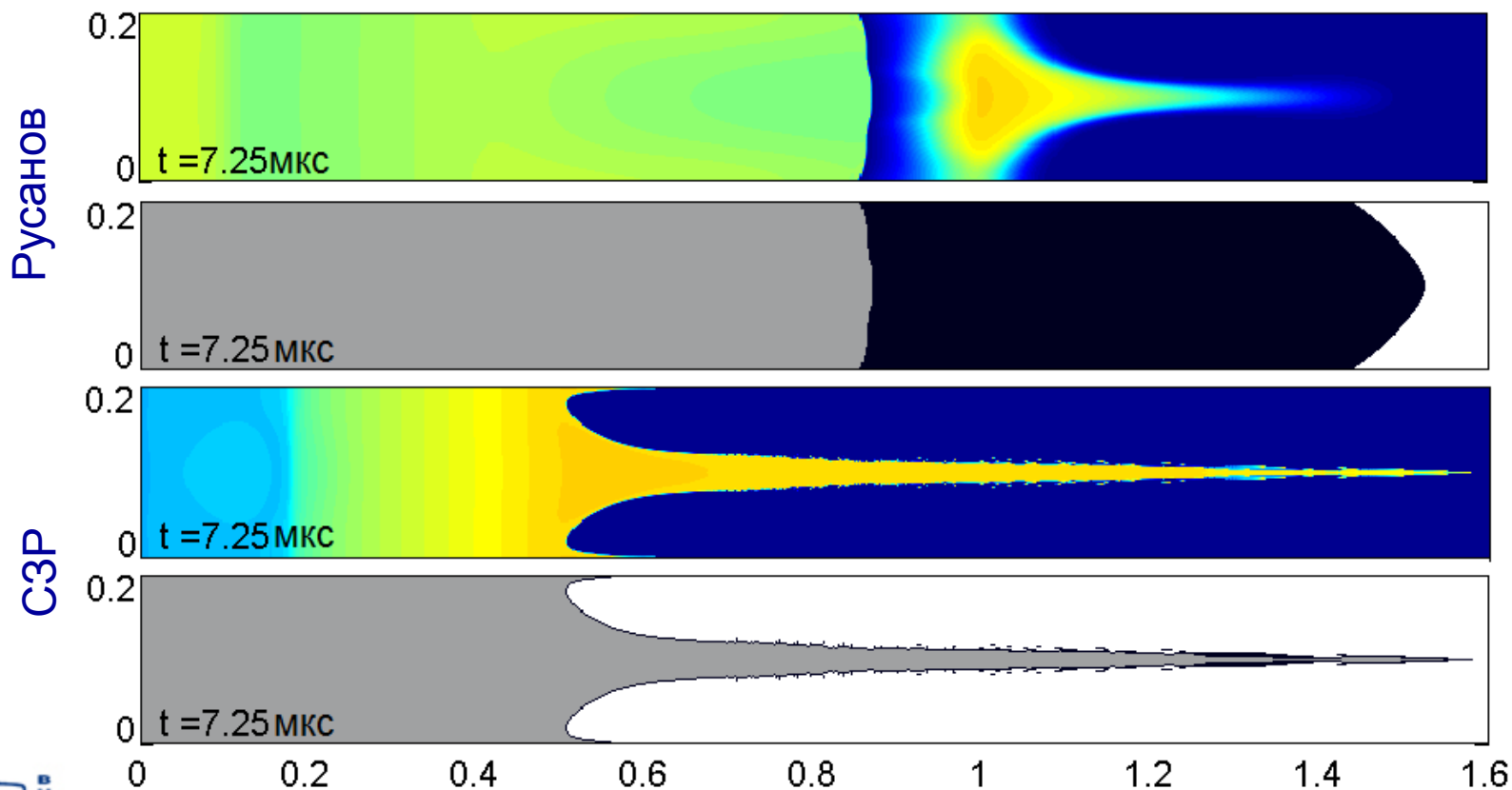
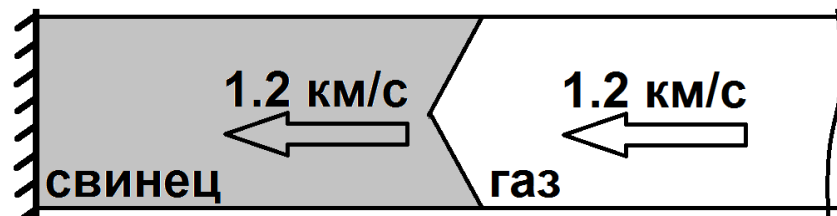
СЗР-аппроксимация



Численные результаты

Задача о пылении

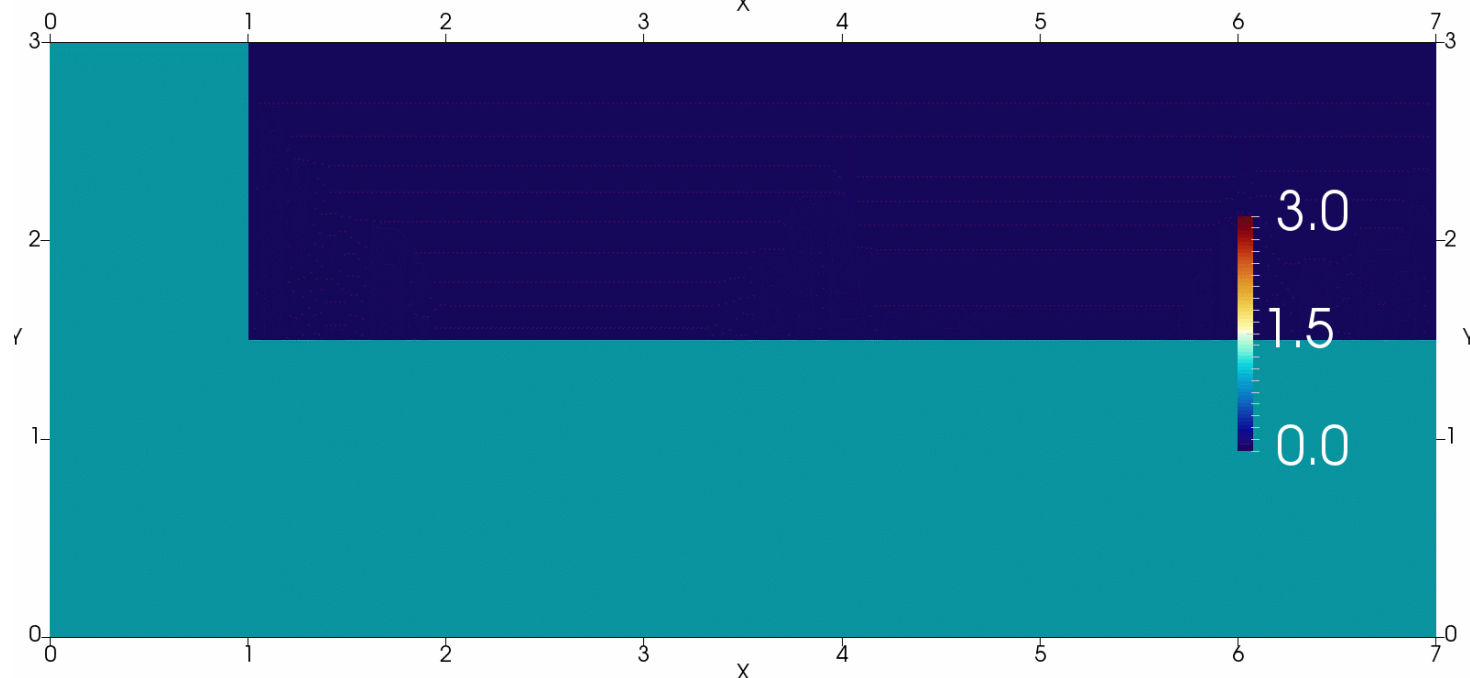
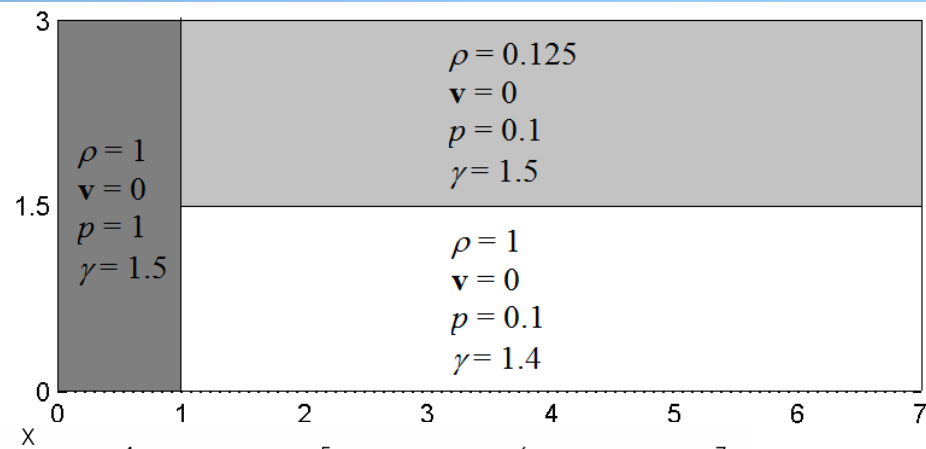
- УРС Ми-Грюнайзена и идеального газа
- $(L_x, L_y) = (1.6, 0.2)$ см
- глубина выемки - 0.35 мм
- слева, снизу, сверху – жесткая стенка
- $(N_x, N_y) = (800, 200)$; CFL = 0.5



Численные результаты

Задача о тройной контактной точке*

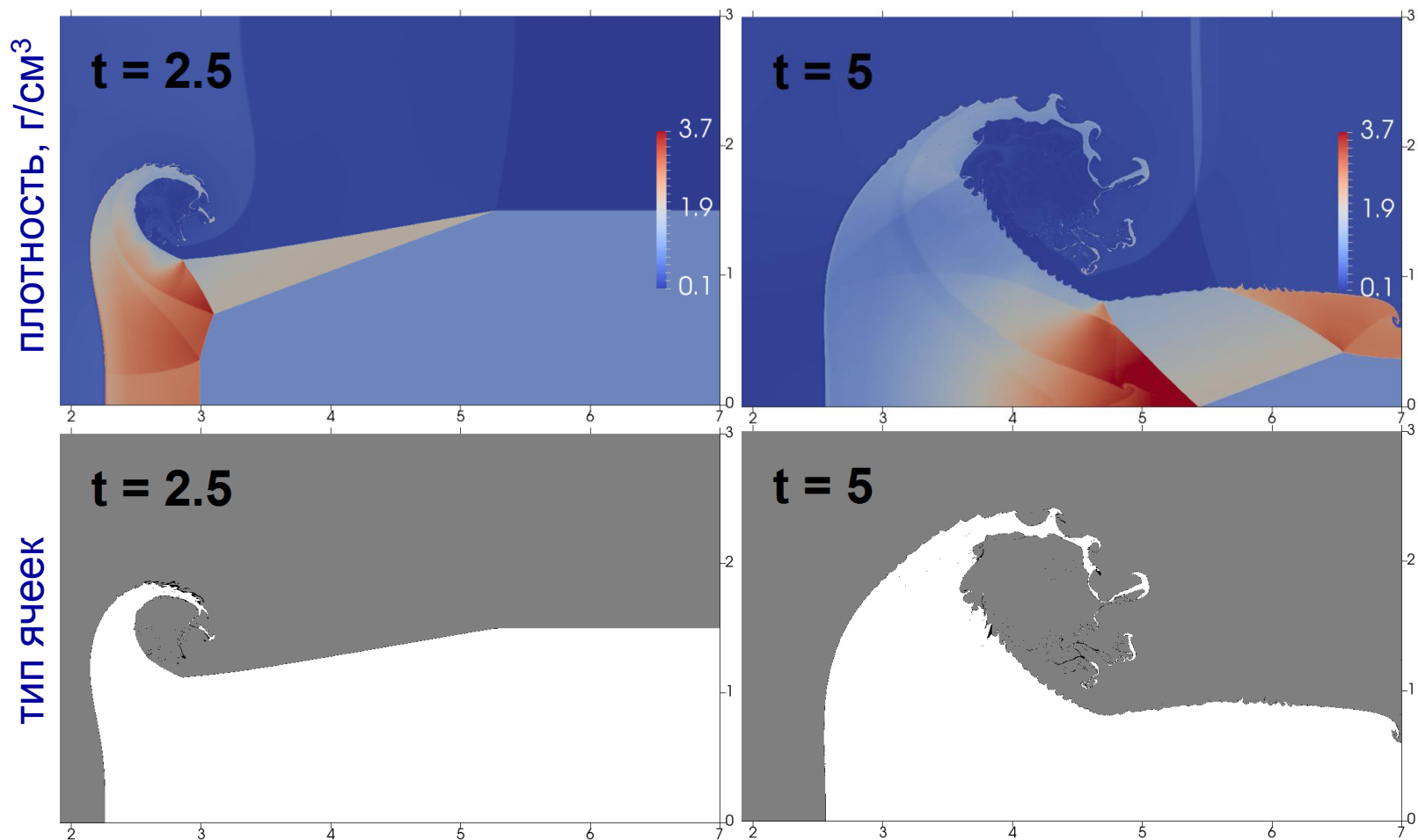
- задача рассматривается как двуматериальная
- $(L_x, L_y) = (7, 3)$
- УРС идеального газа
- все ГУ – жесткая стенка
- $(N_x, N_y) = (4200, 1800)$



*Kucharik M, Garimella RV, Schotfield SP, Shashkov MJ. A comparative study of interface reconstruction methods for multi-material ALE simulations. *Journal of Computational Physics*. 2010; **229(7)**:2432-2452.

Численные результаты

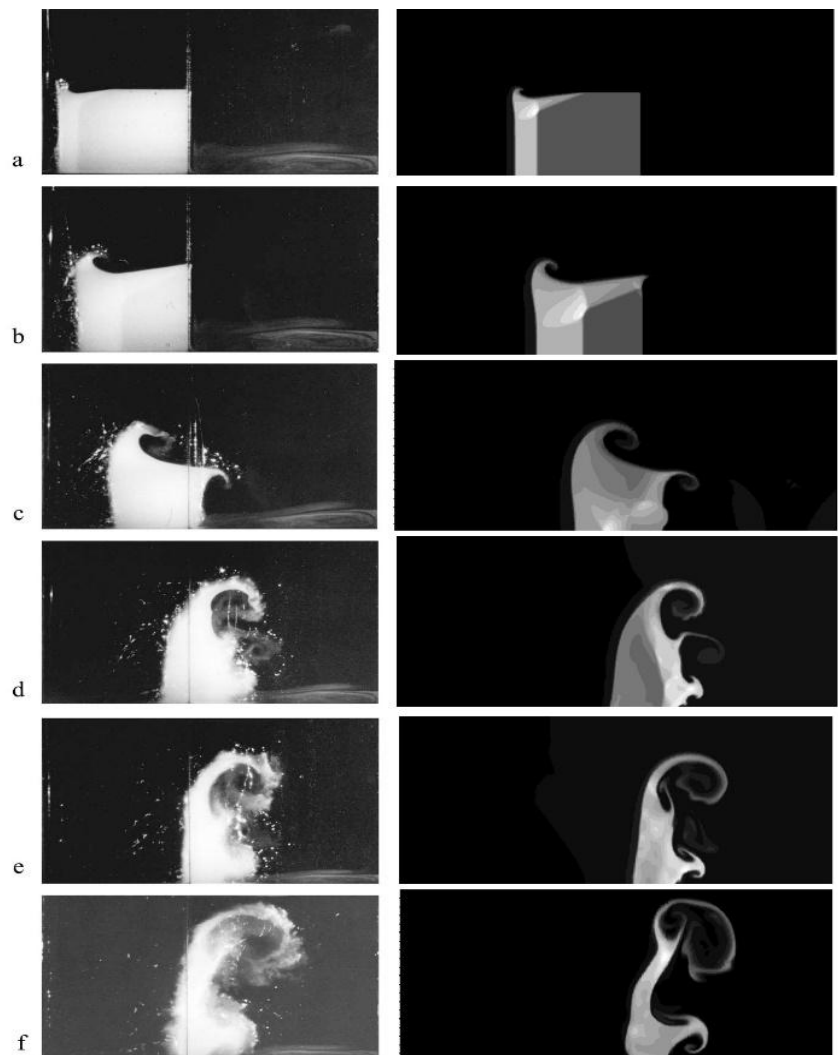
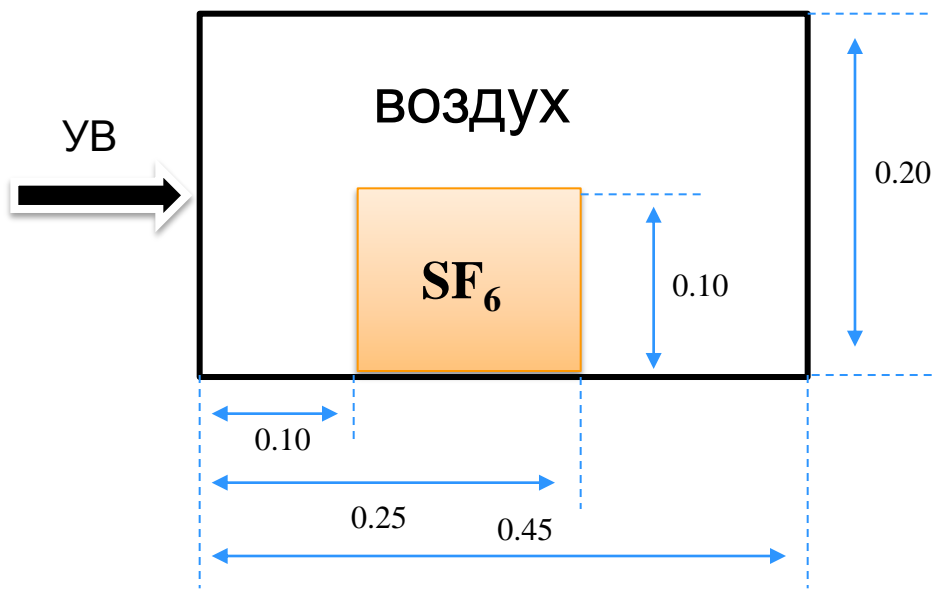
Задача о тройной контактной точке



Численные результаты

Задача о прохождении УВ через блок SF₆

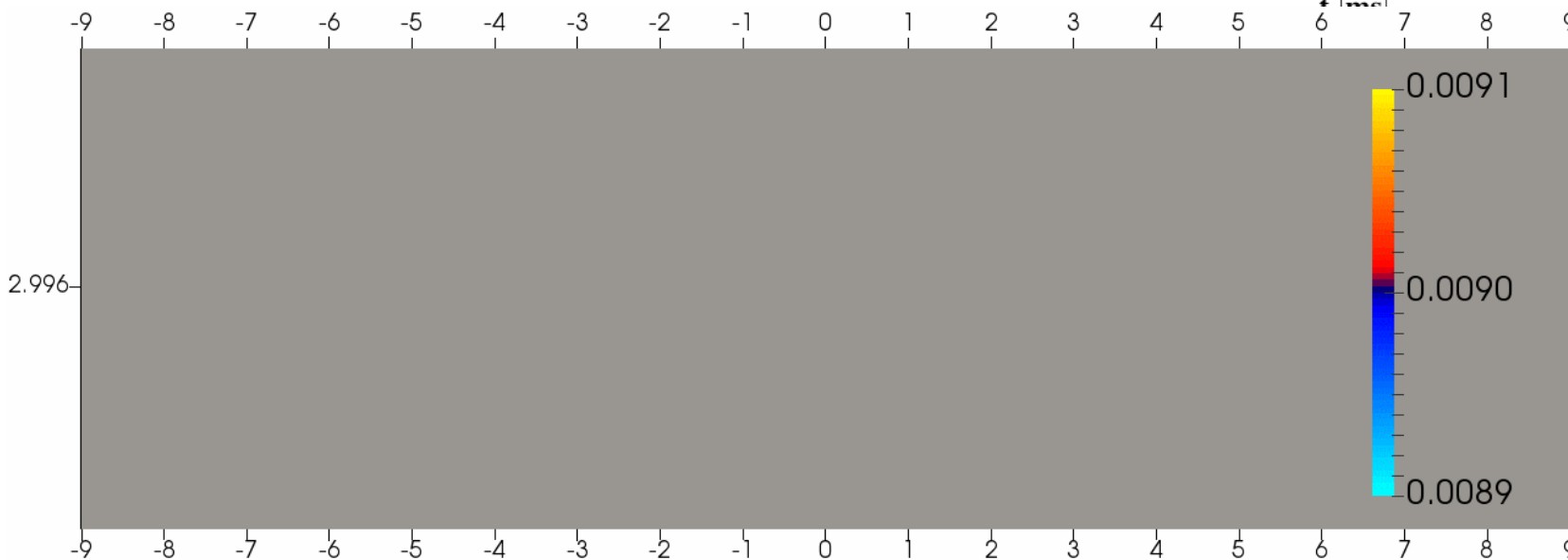
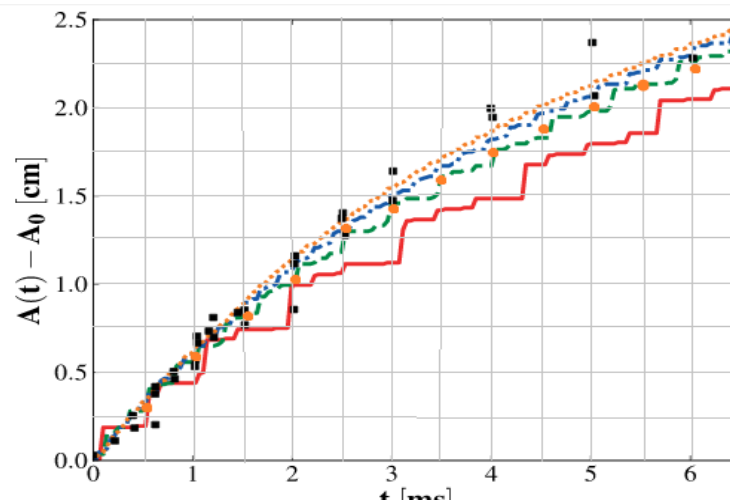
- УРС идеального газа



Численные результаты

PM неустойчивость КГ «ВОЗДУХ-SF6»

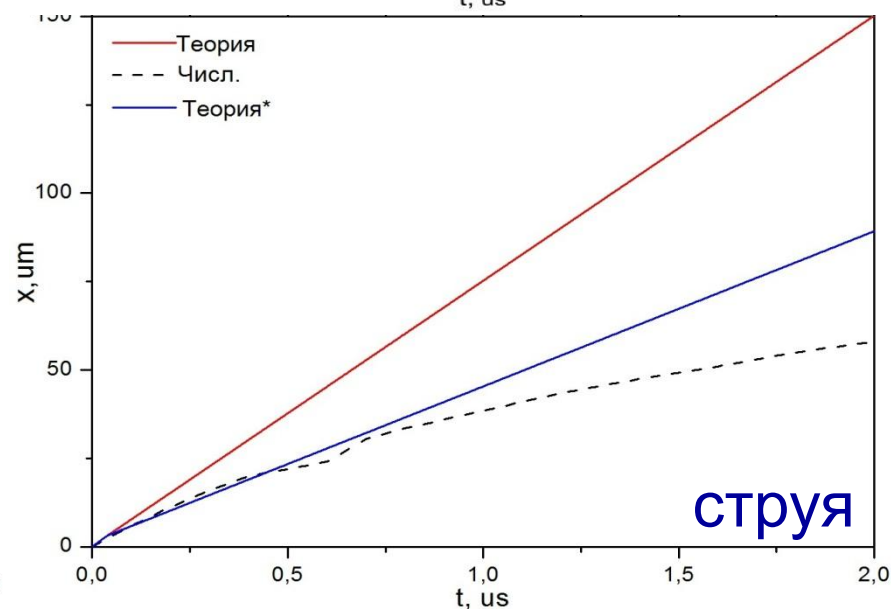
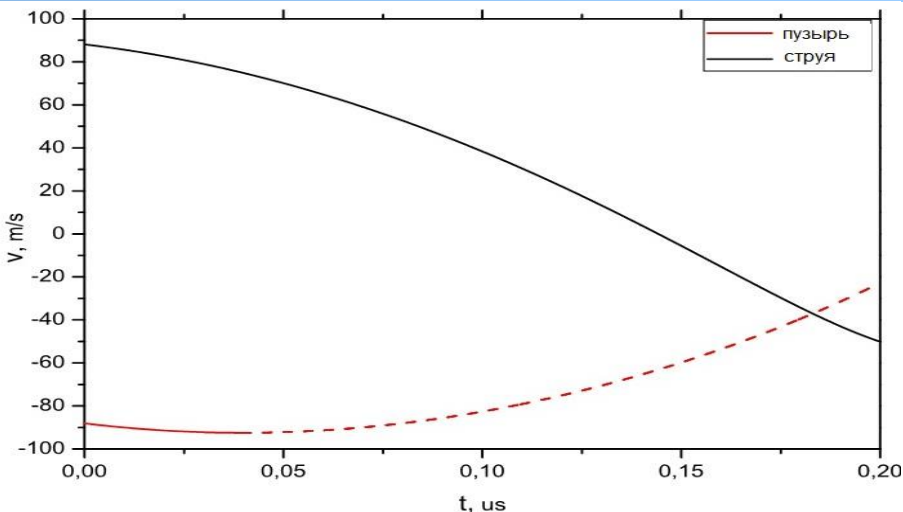
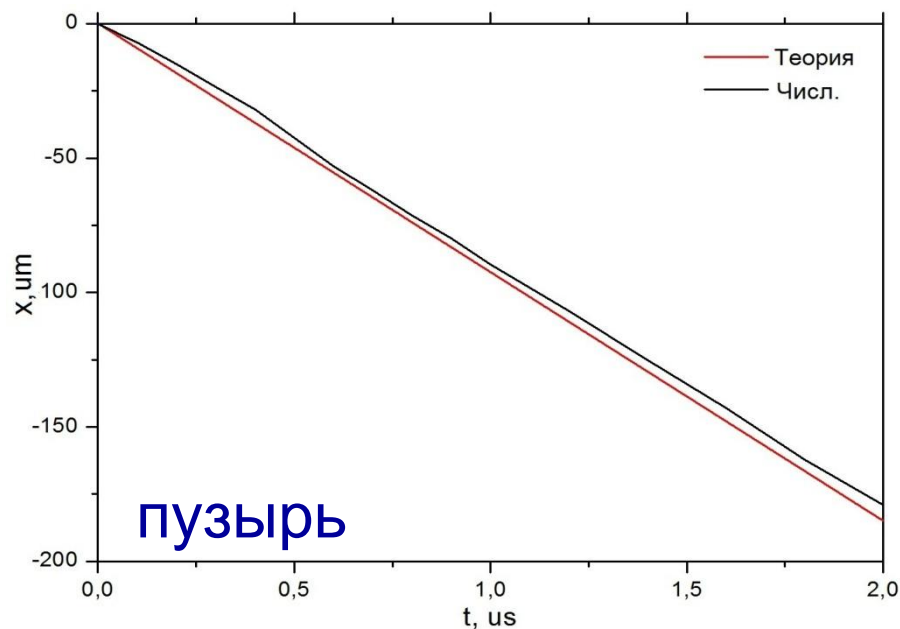
- плотности - 1.351 г/см^3 и 5.494 г/см^3
- УРС идеального газа с $\gamma = 1.296$ и $\gamma = 1.093$
- $M_{yB} = 1.21$; $\lambda = 5.933 \text{ см}$; $A_0 = 0.183 \text{ см}$



Численные результаты

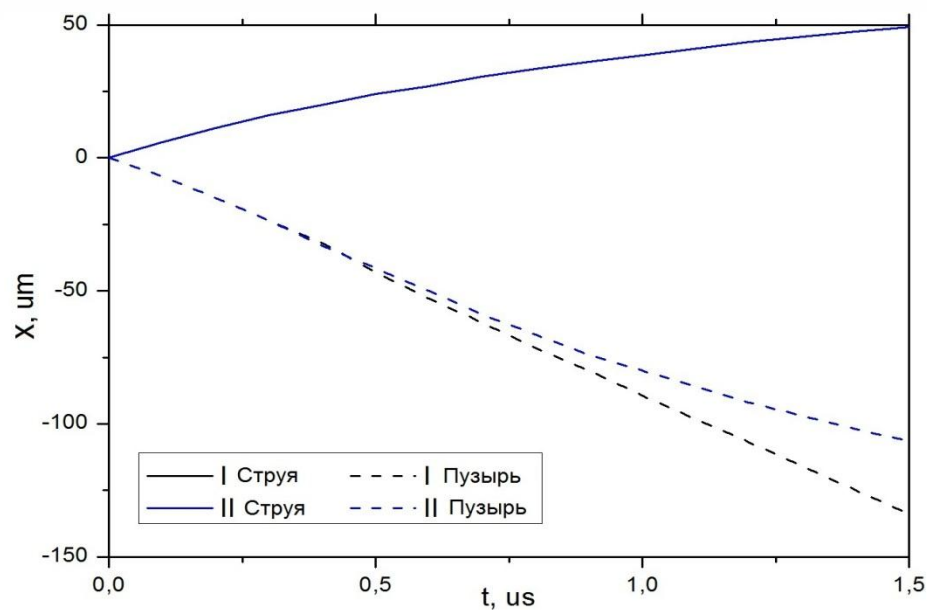
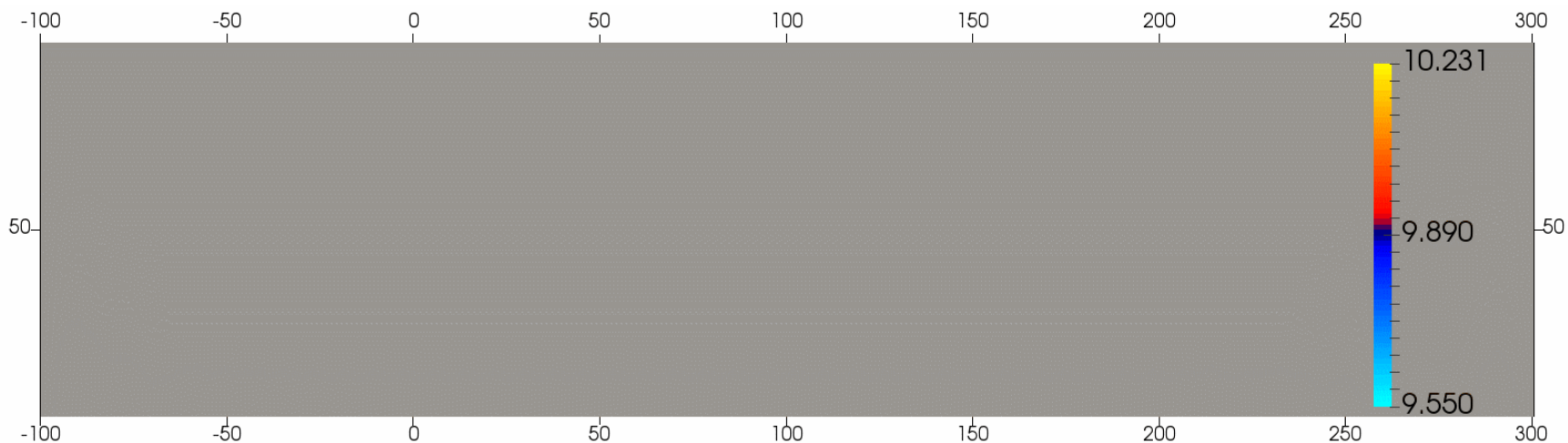
Неустойчивость КГ "AL-FE"

- скорость плоского соударения – 5 км/с
- КГ плоская; возмущено FE
- $\delta\rho/\rho = 5\%$; $\lambda_x = 1000$ мкм; $\lambda_y = 100$ мкм
- УРС Ми-Грюнайзена
- периодические ГУ
- теоретический анализ – теория возмущений



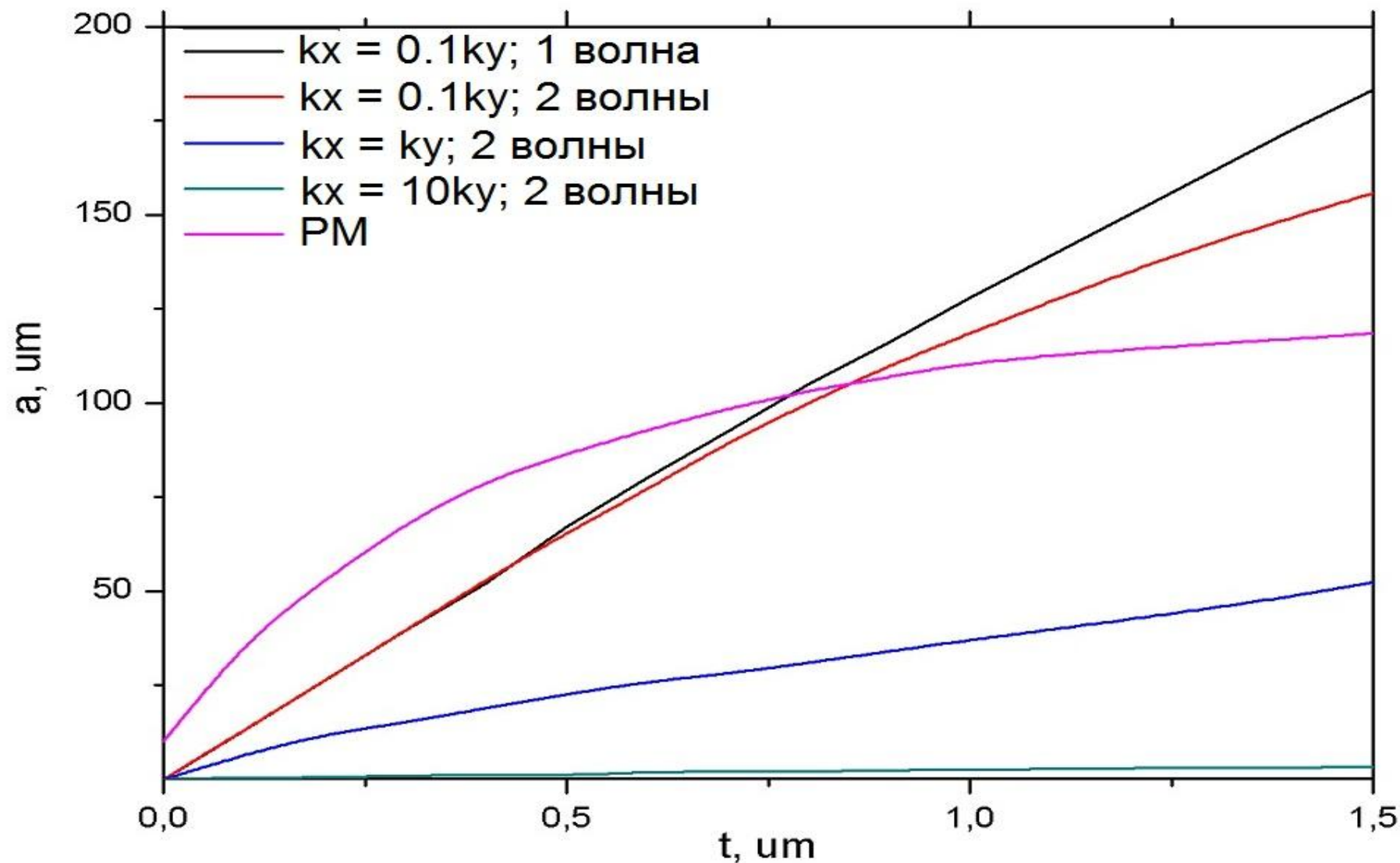
Численные результаты

Неустойчивость КГ "AL-FE"



Численные результаты

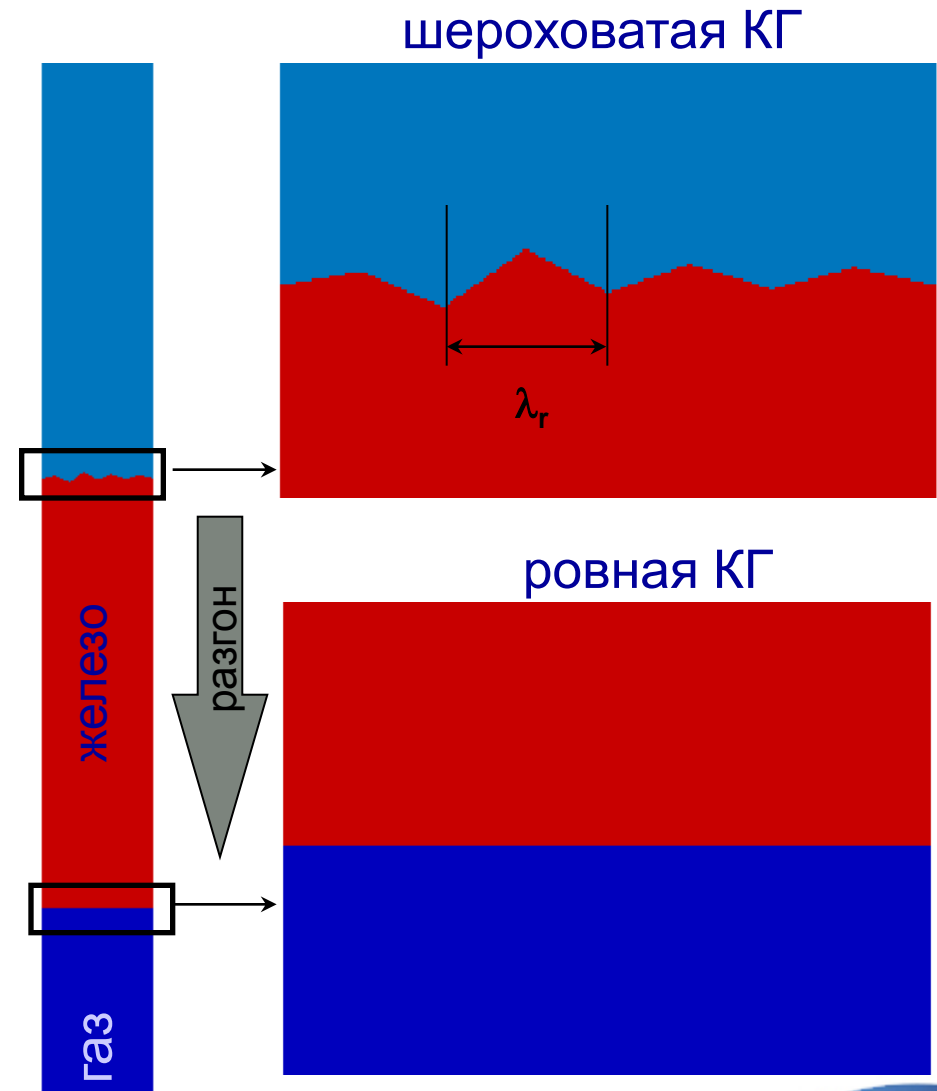
Неустойчивость КГ "AL-FE"



Ударно-волновой разгон пластины с шероховатостью

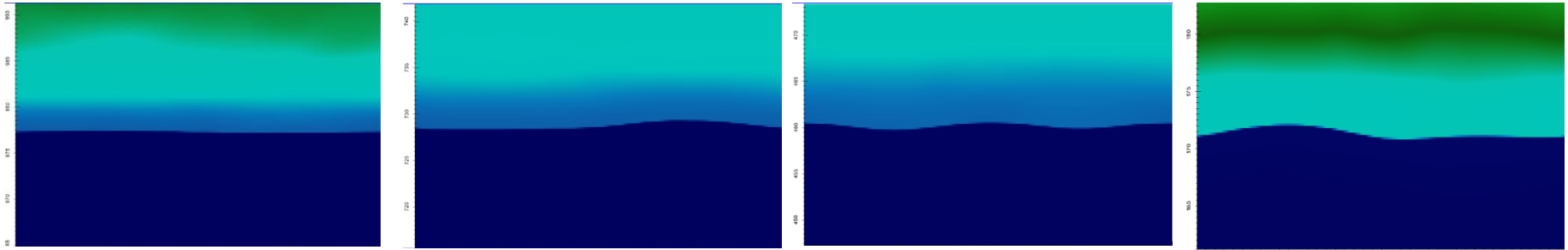
Постановка задачи

- однородная железная пластина толщиной 0.2 см
- длина газовой полости – 1.5 см
- пилообразное возмущение верхней КГ с постоянной длиной волны
- длина волны – 30, 100 и 500 мкм
- амплитуда – {5, 20, 10, 7.5} мкм и {1.25, 5, 2.5, 1.875} мкм
- осесимметричная постановка
- граничные условия
 - вверху – заданный поток $f(t)$
 - внизу – жесткая стенка
 - слева/справа – периодичность



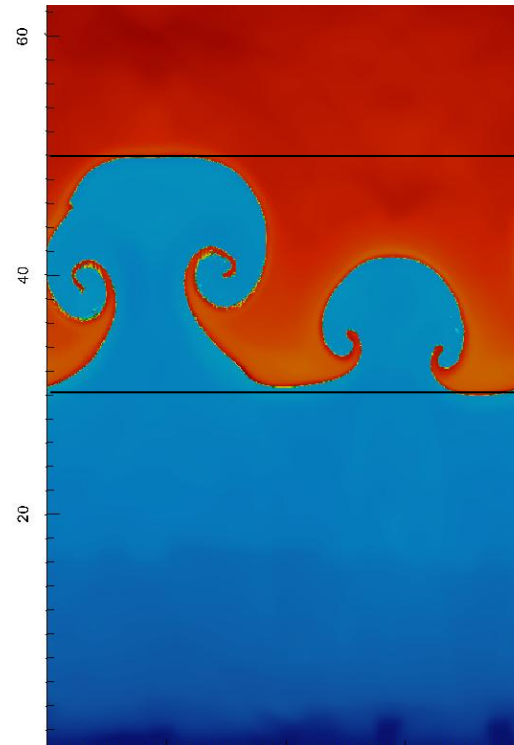
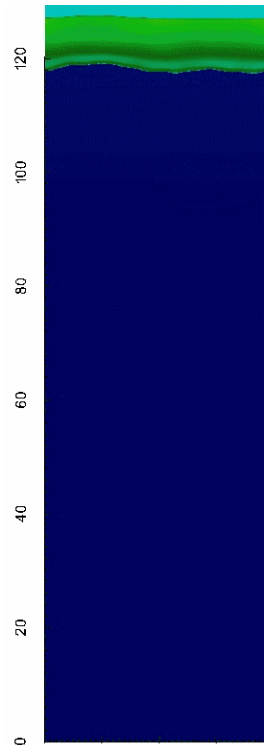
Ударно-волновой разгон пластины с шероховатостью

Деформирование КГ на стадии разгона



Деформирование КГ на стадии торможения

- торможение пластины происходит на серии УВ
- слегка искривленная на стадии разгона КГ сильно деформируется (РТ неустойчивость)

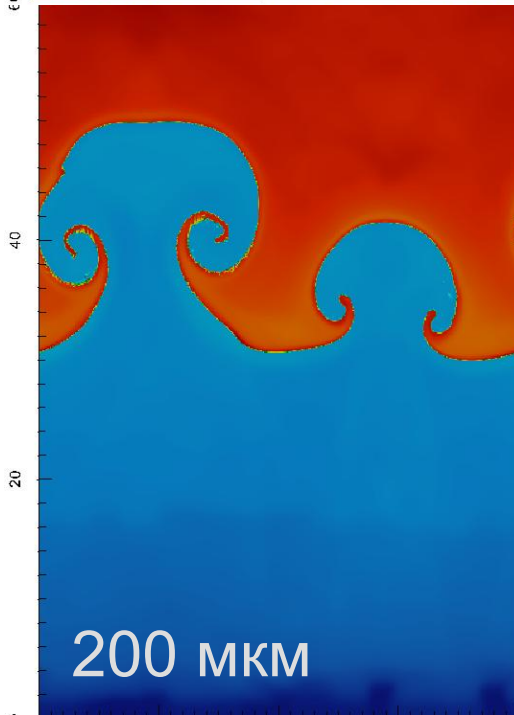
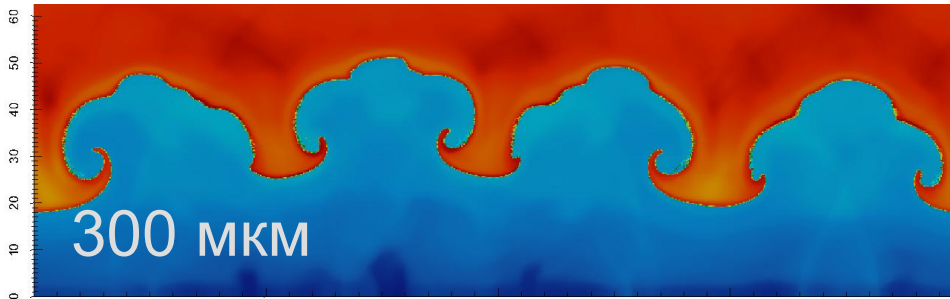


200 мкм

Ударно-волновой разгон пластины с шероховатостью

Влияние параметров начальной шероховатости

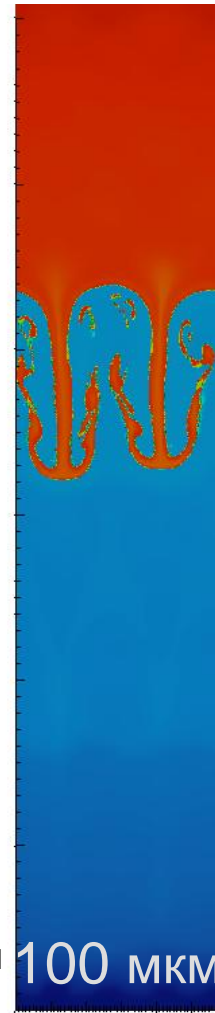
$a = \{5, 20, 10, 7.5\}$ мкм



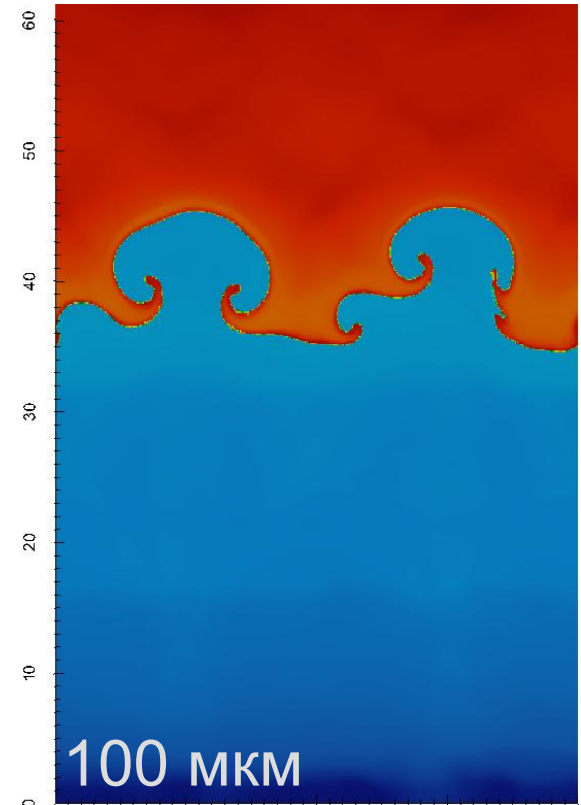
$\lambda_r = 500$ мкм

$\lambda_r = 100$ мкм

$\lambda_r = 30$ мкм



$a = \{1.25, 5, 2.5, 1.875\}$ мкм;



$\lambda_r = 100$ мкм